

FIG. 1

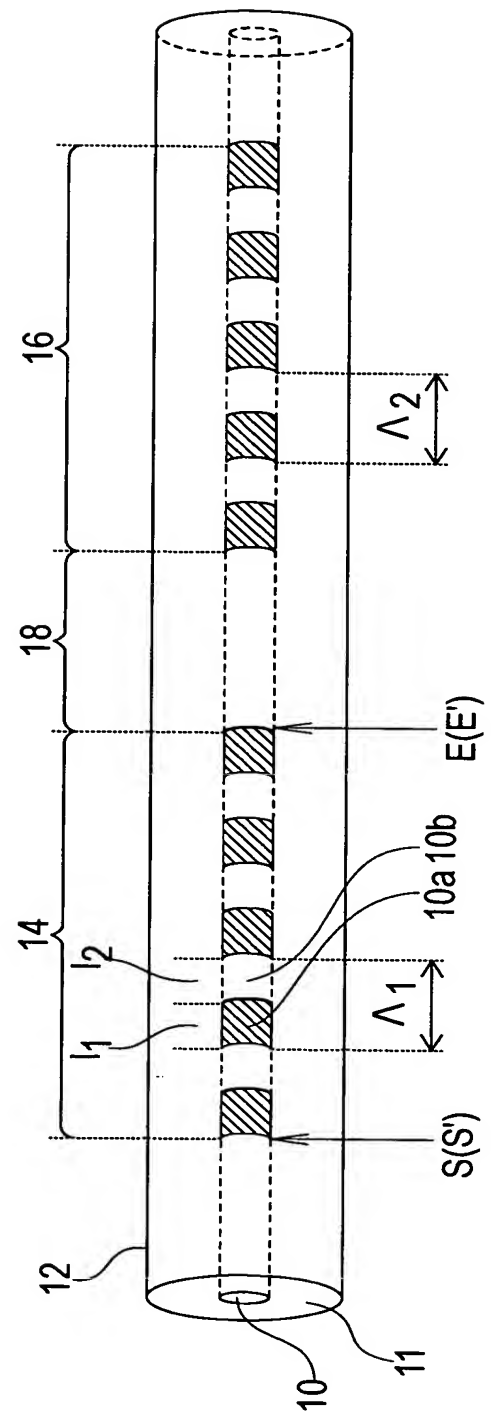


FIG.2

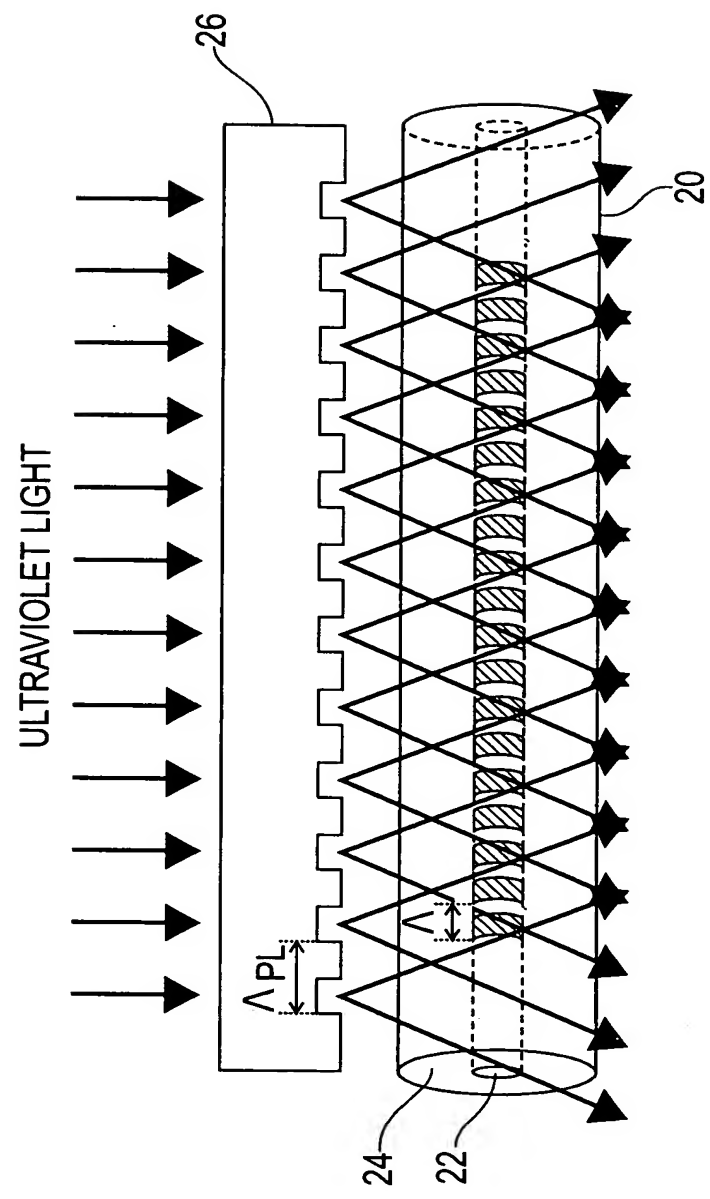


FIG. 3

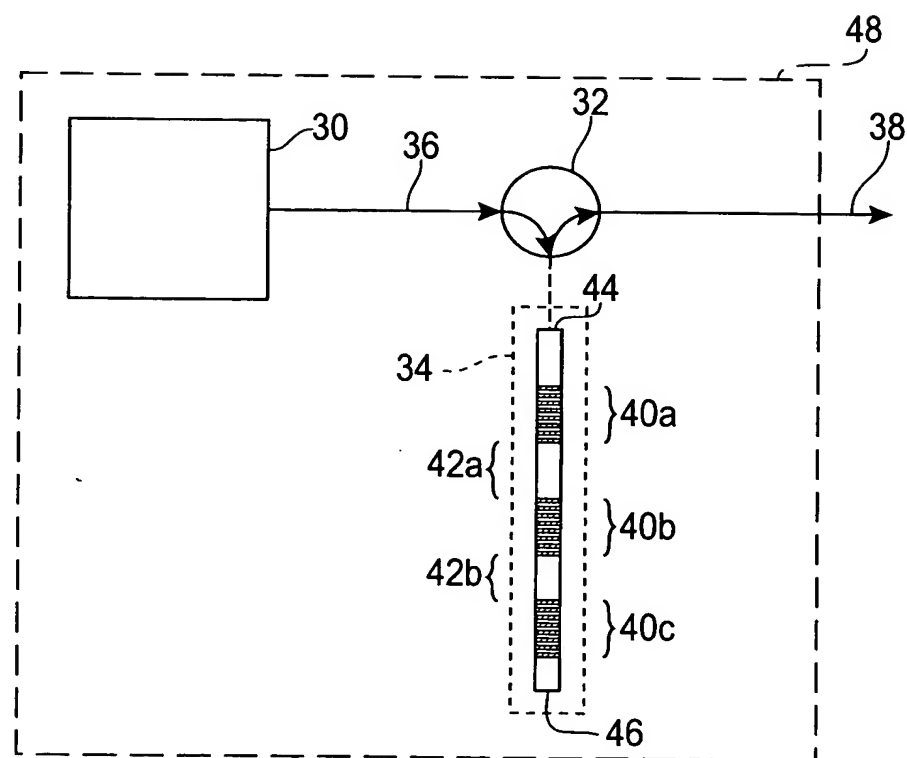


FIG. 4(A)

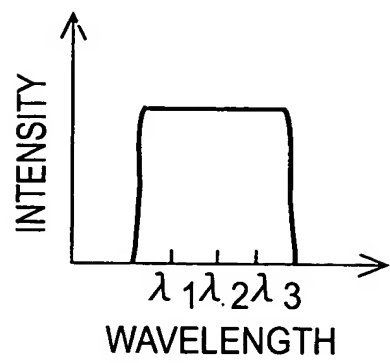


FIG. 4(B)

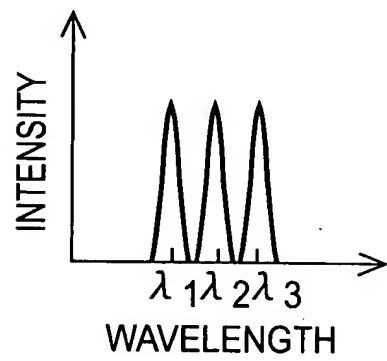


FIG. 5(A)

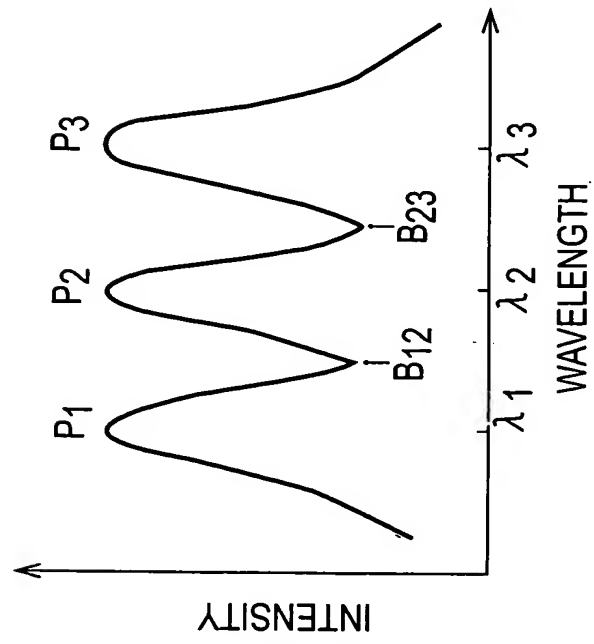


FIG. 5(B)

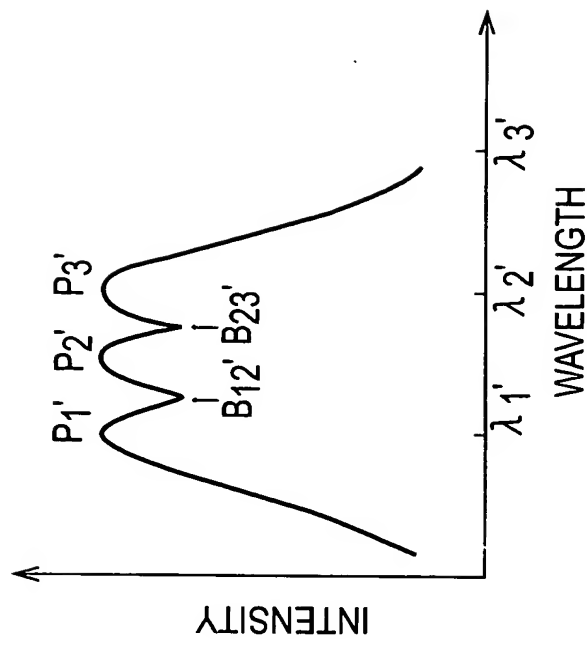


FIG. 6

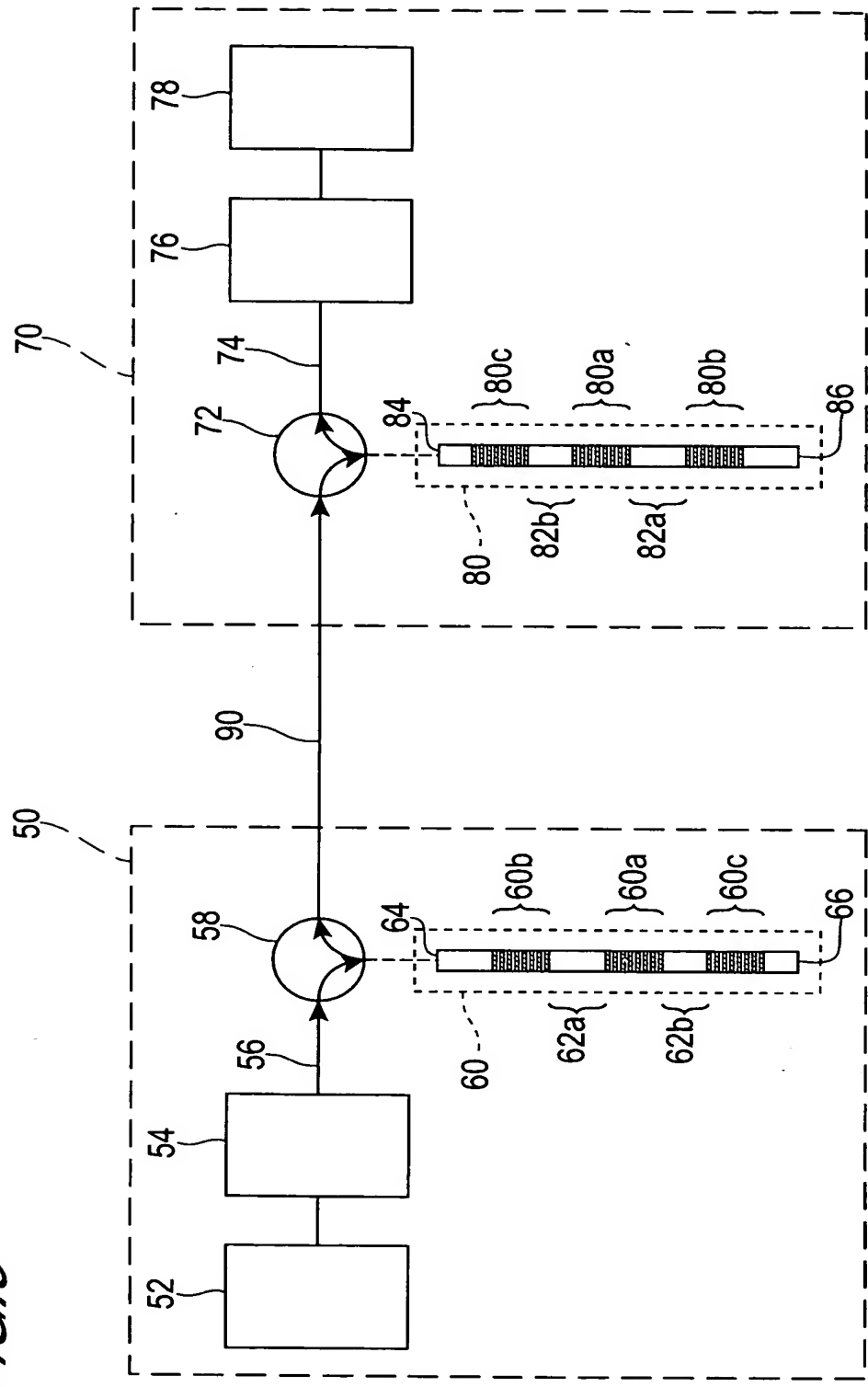


FIG. 7(A)

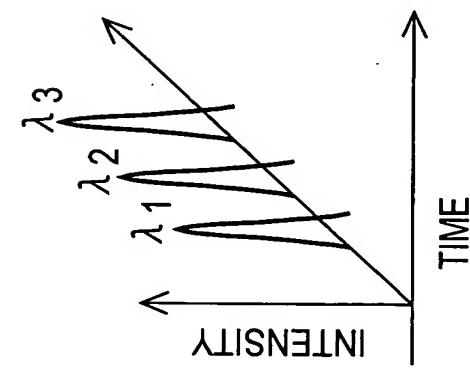


FIG. 7(B)

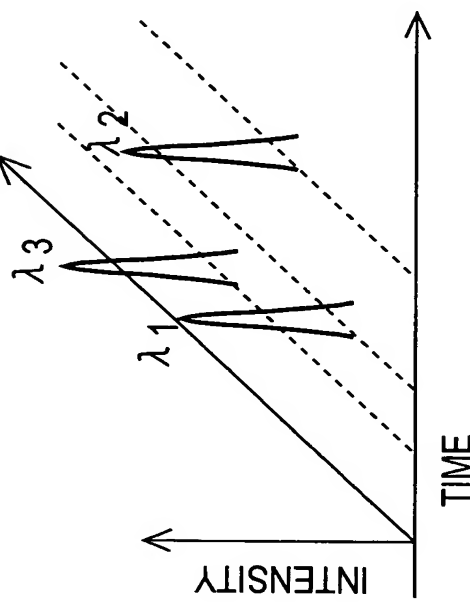


FIG. 7(C)

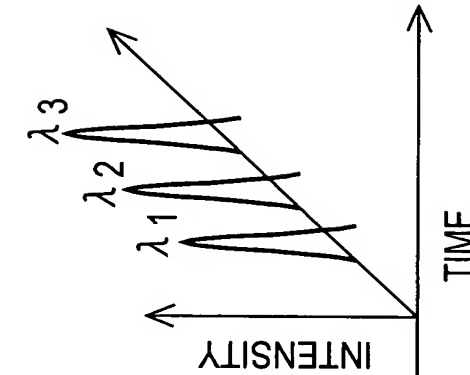


FIG. 8(A)

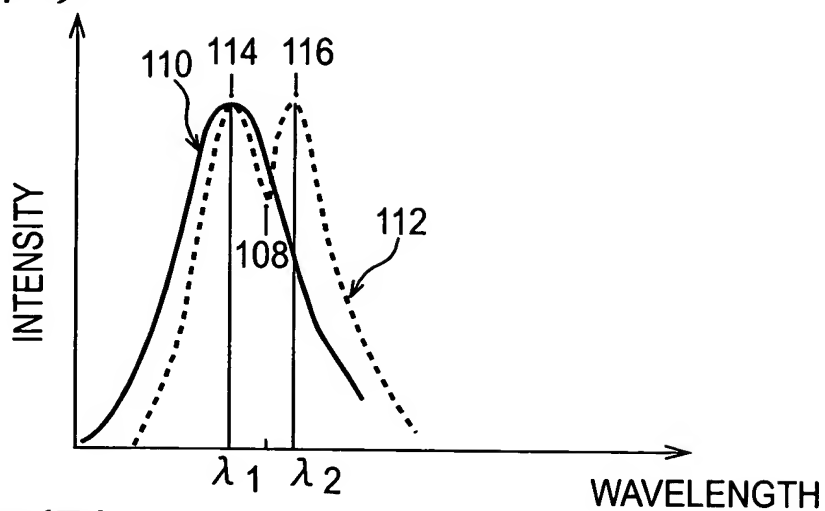


FIG. 8(B)

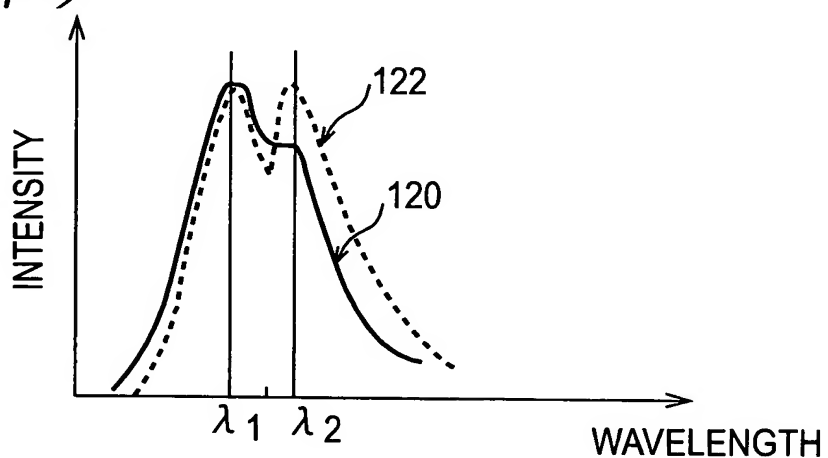


FIG. 8(C)

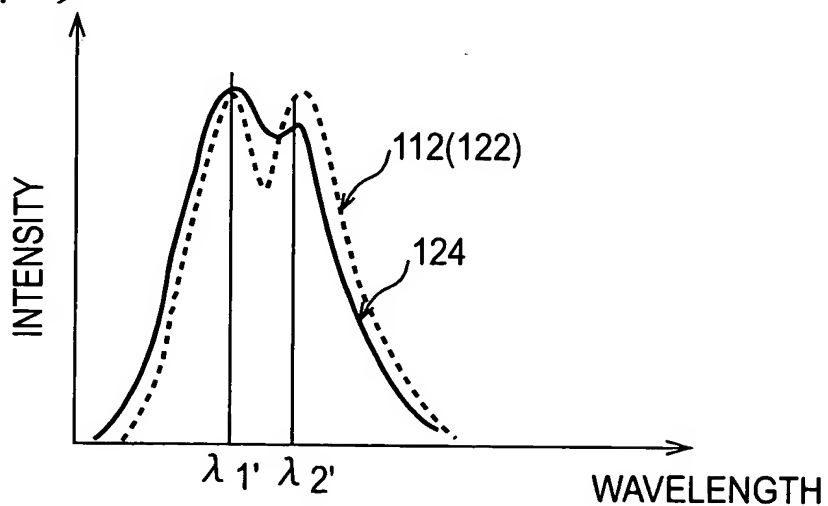


FIG. 9(A)

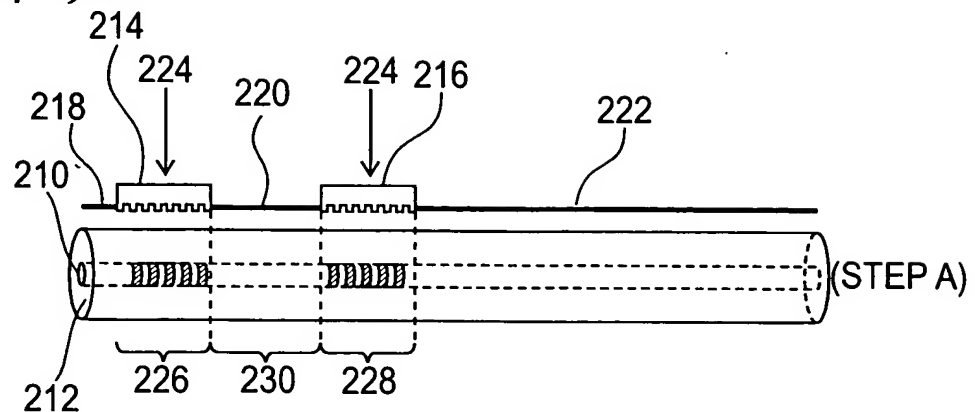


FIG. 9(B)

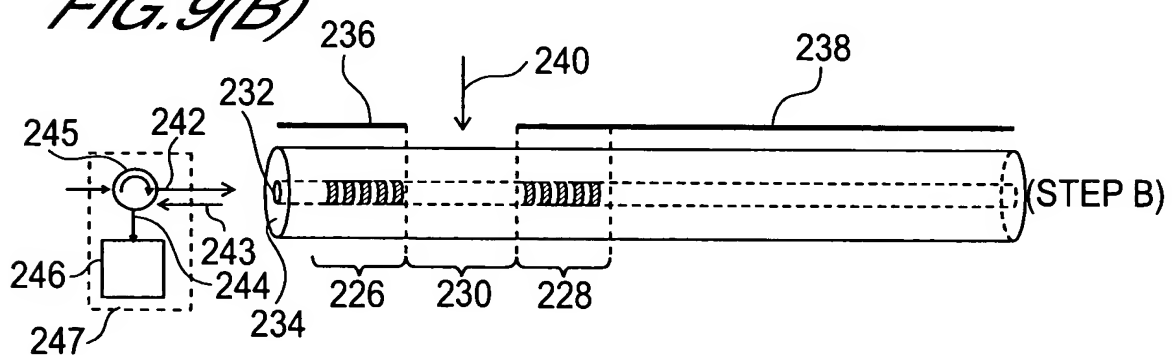


FIG. 9(C)

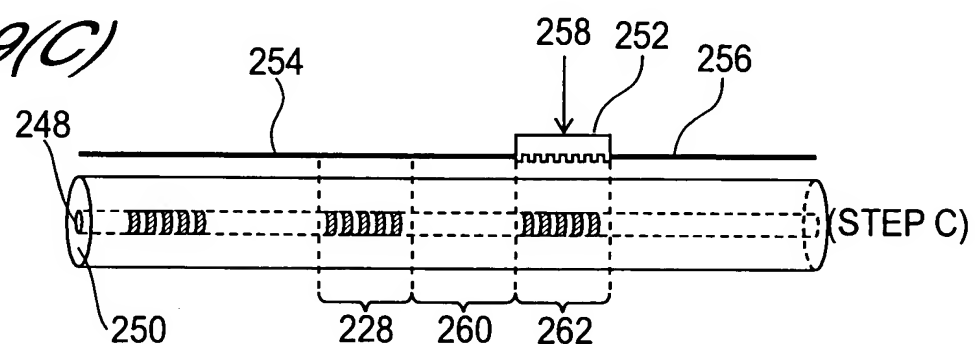


FIG. 9(D)

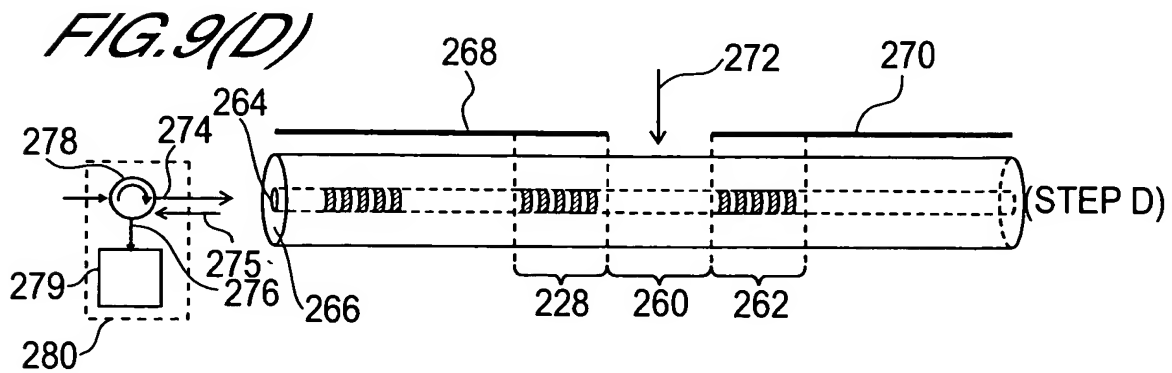


FIG. 10

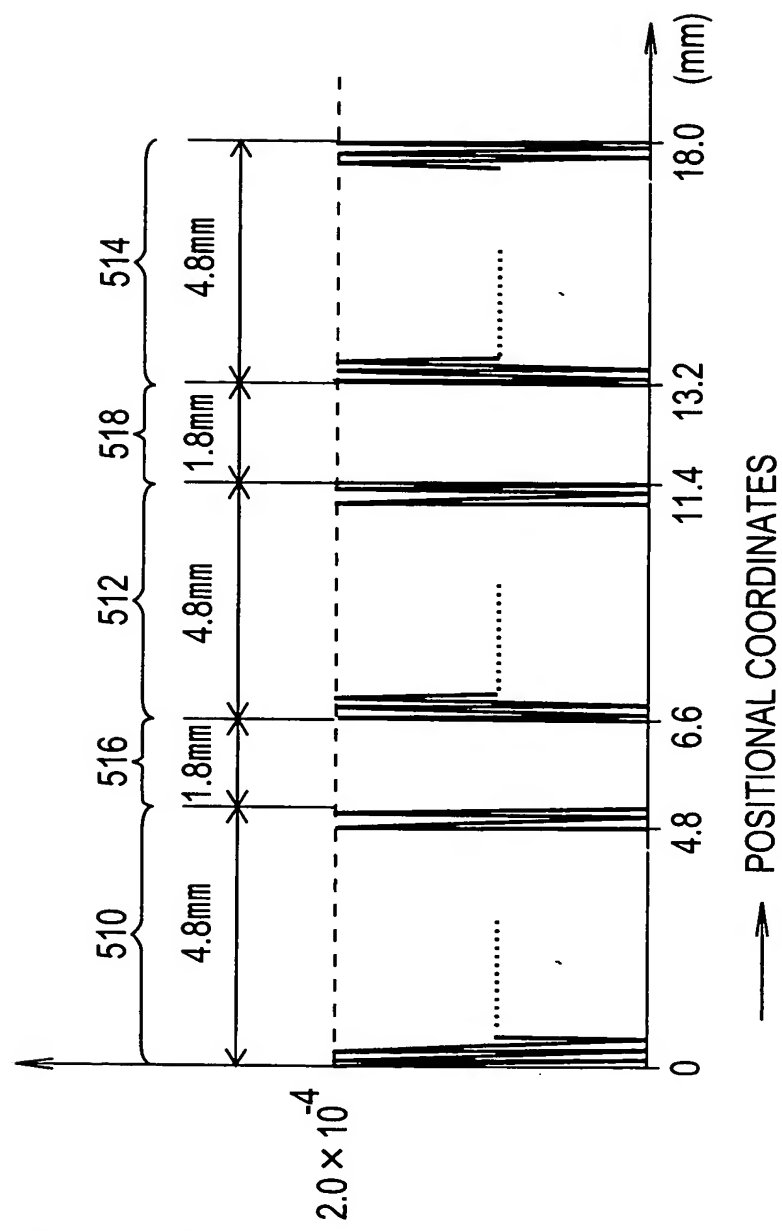


FIG. 11

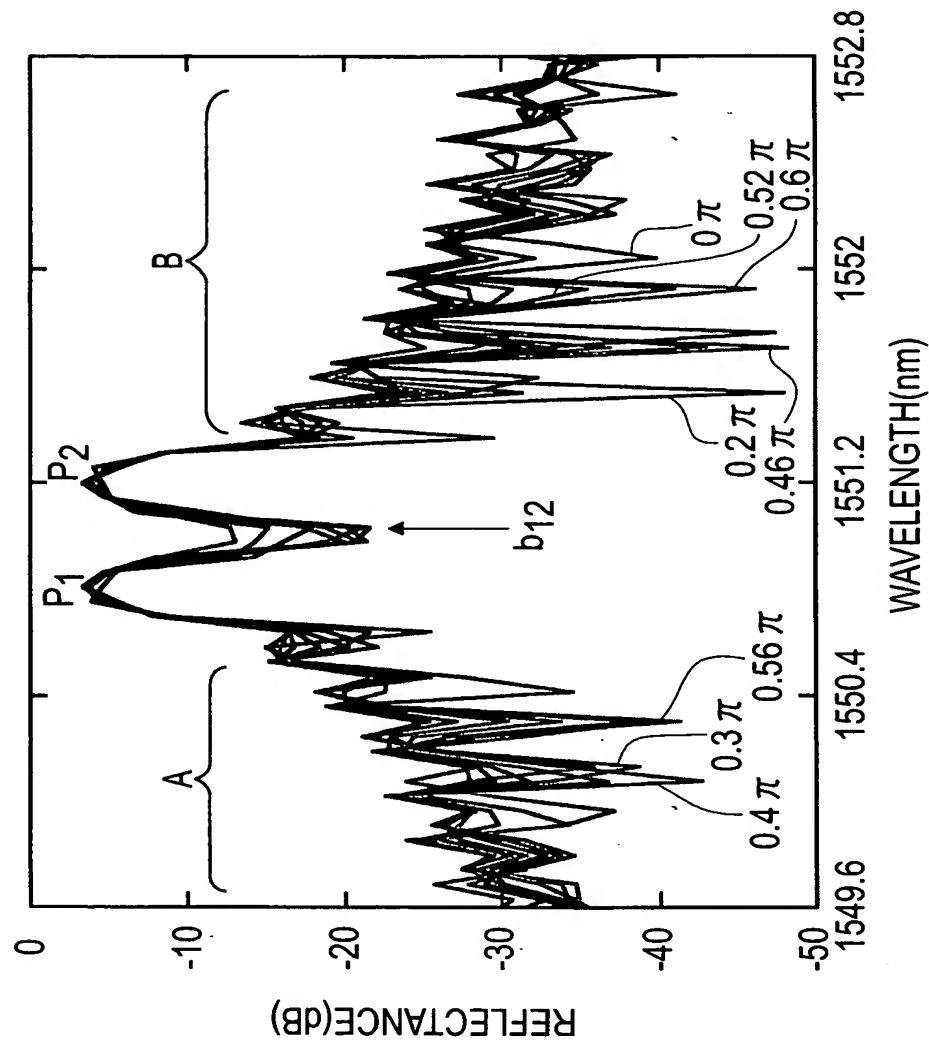


FIG. 12

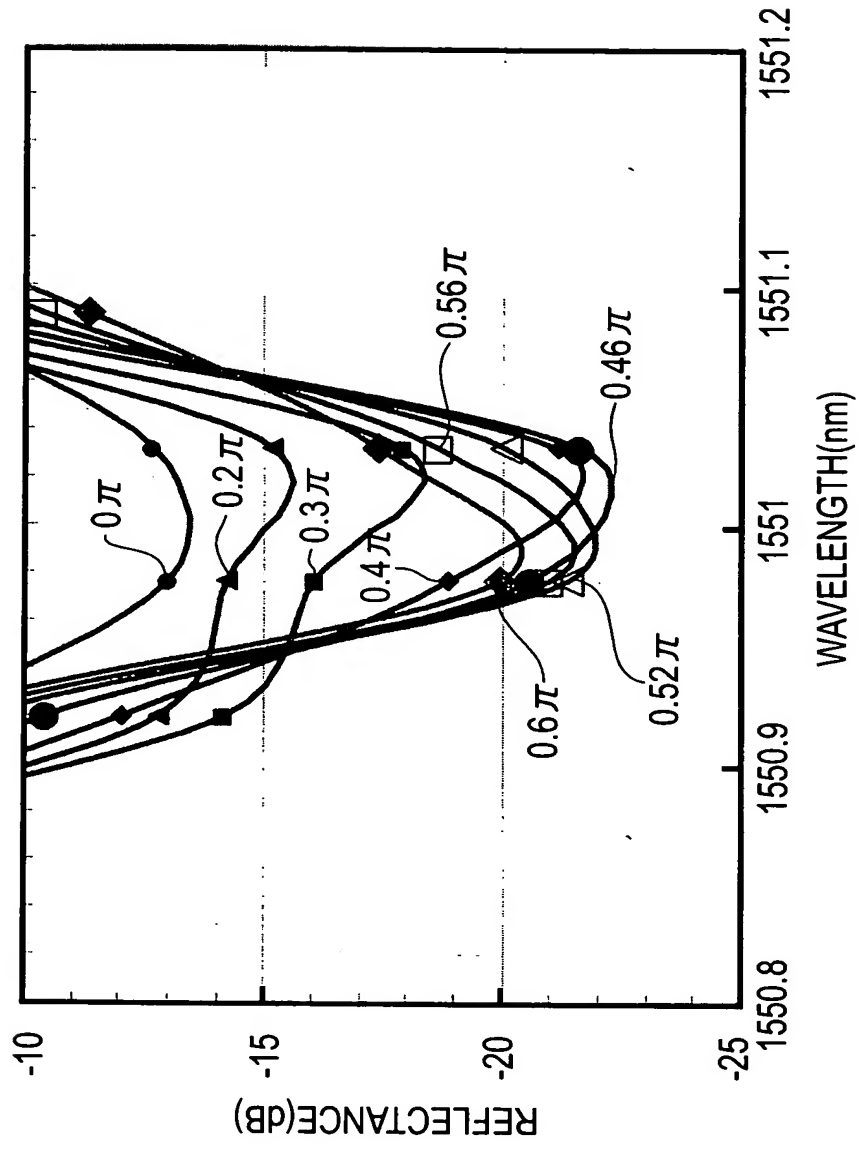


FIG. 13

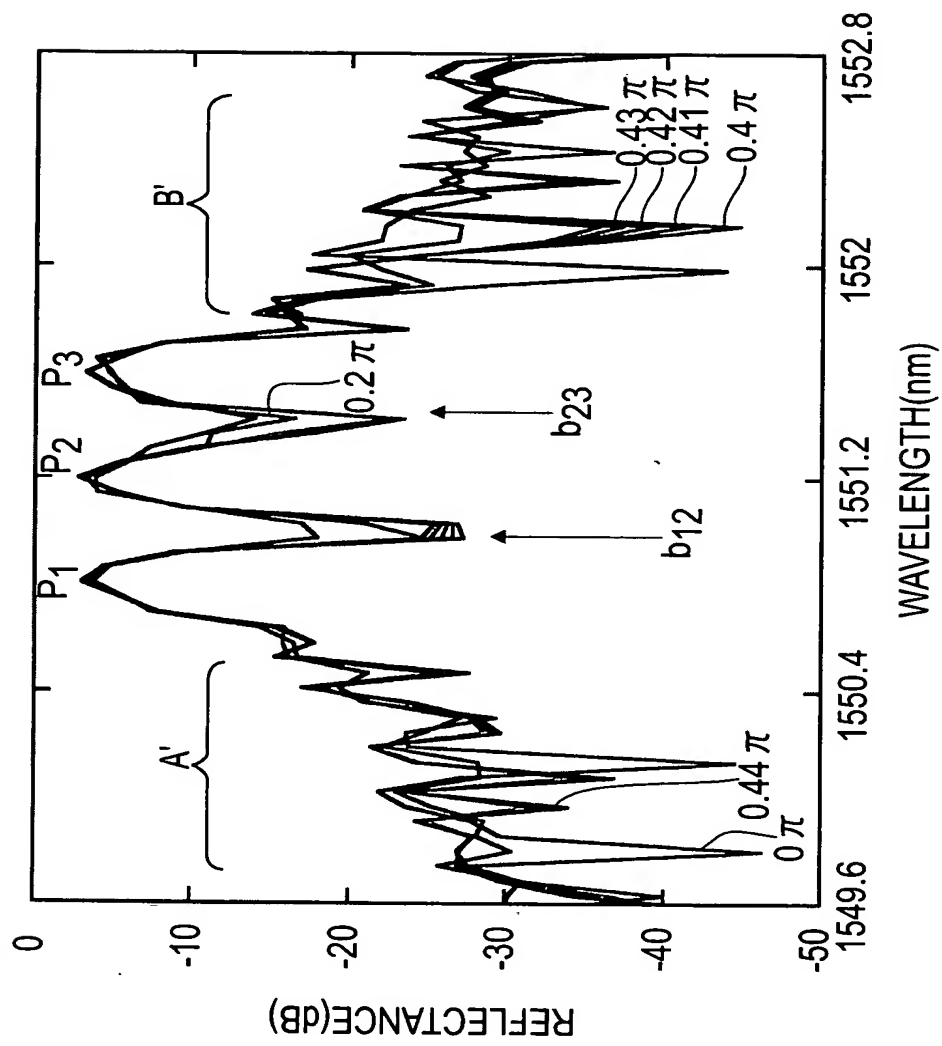


FIG. 14

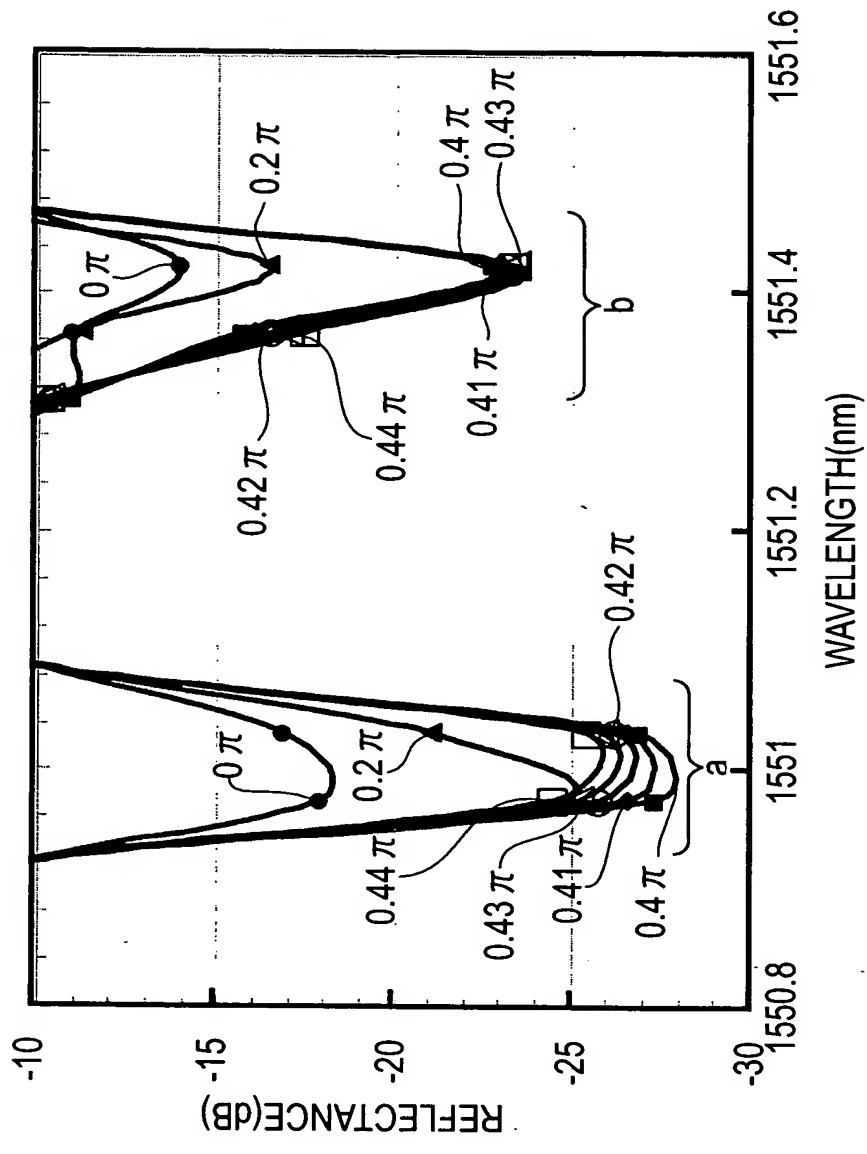


FIG. 15(A)

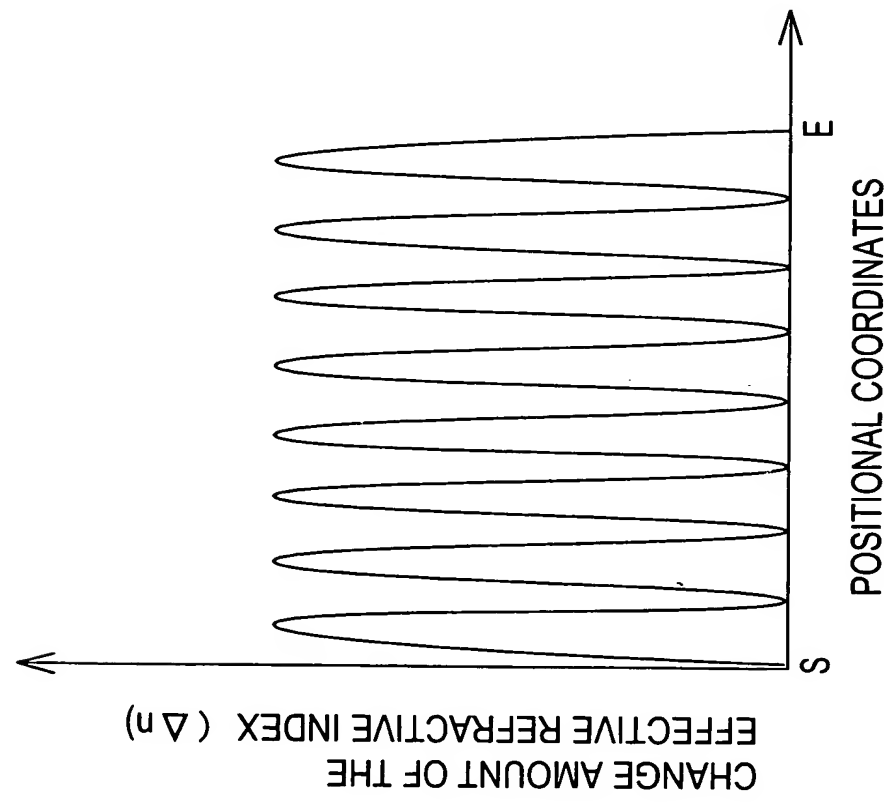


FIG. 15(B)

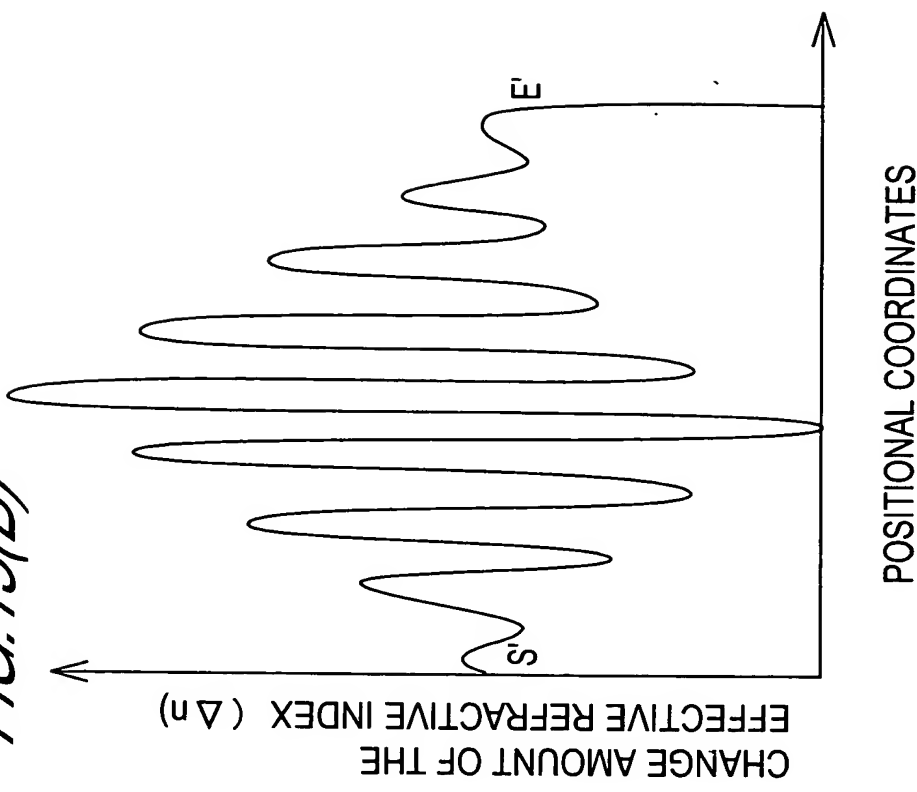


FIG. 16(A)

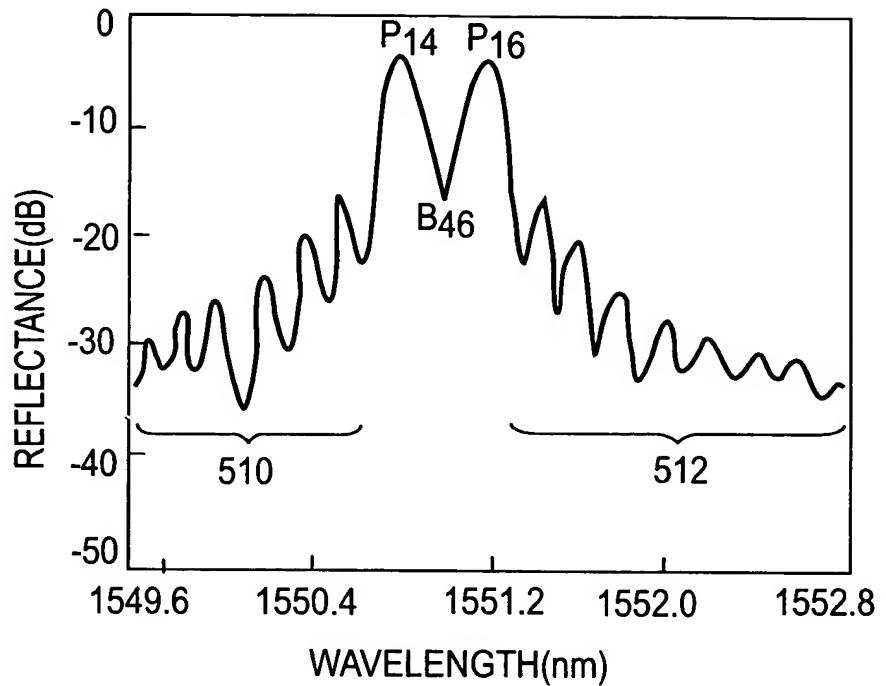


FIG. 16(B)

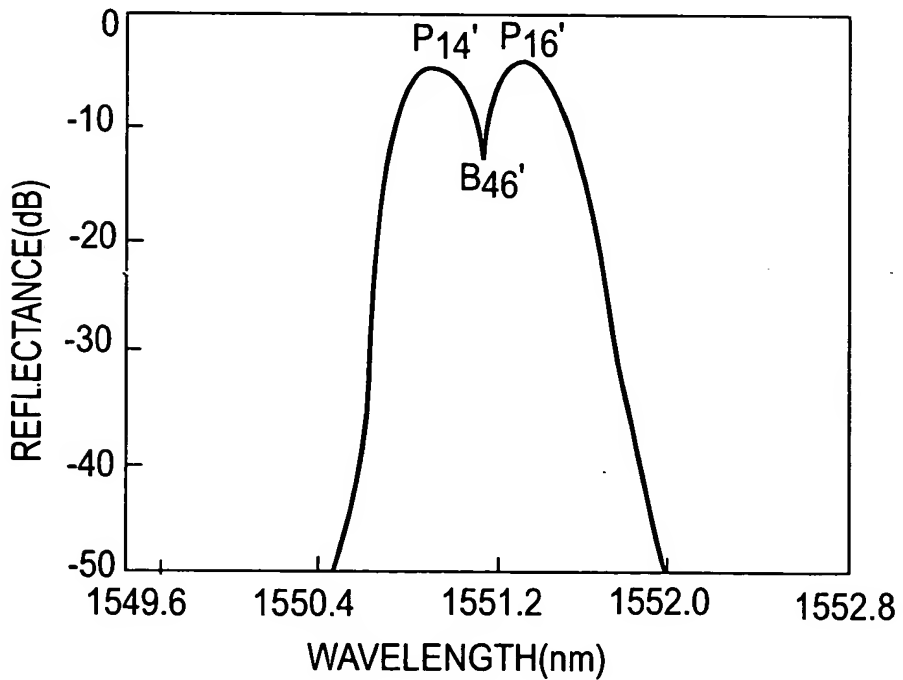


FIG. 17

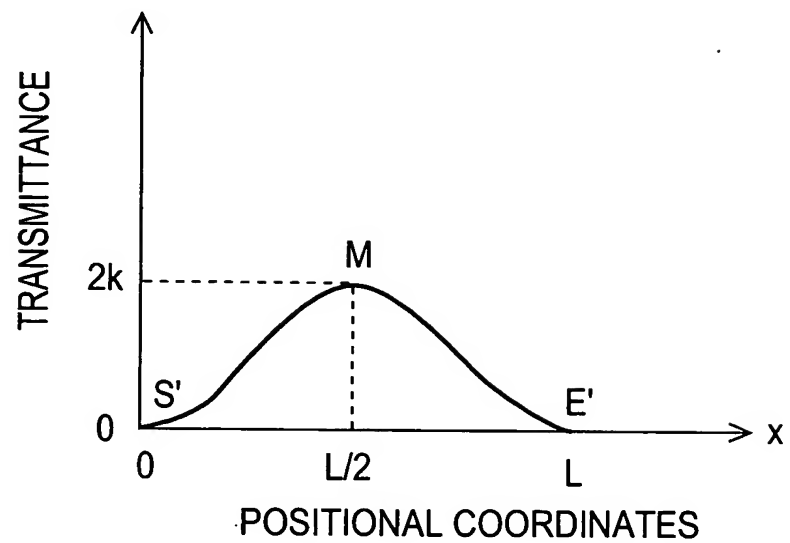


FIG. 18(A)

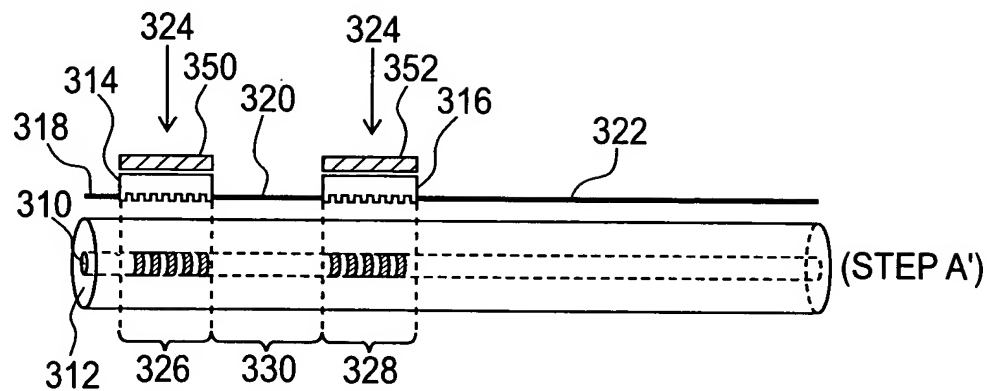


FIG. 18(B)

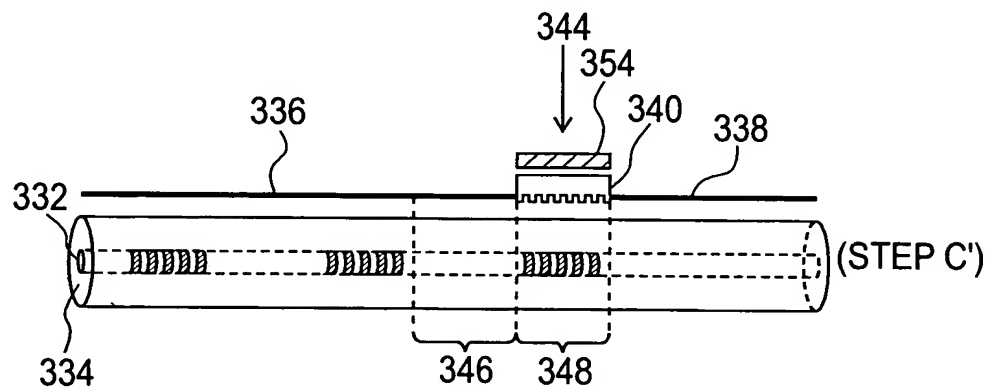


FIG. 10

CHANGE AMOUNT OF THE
EFFECTIVE REFRACTIVE INDEX (Δn)

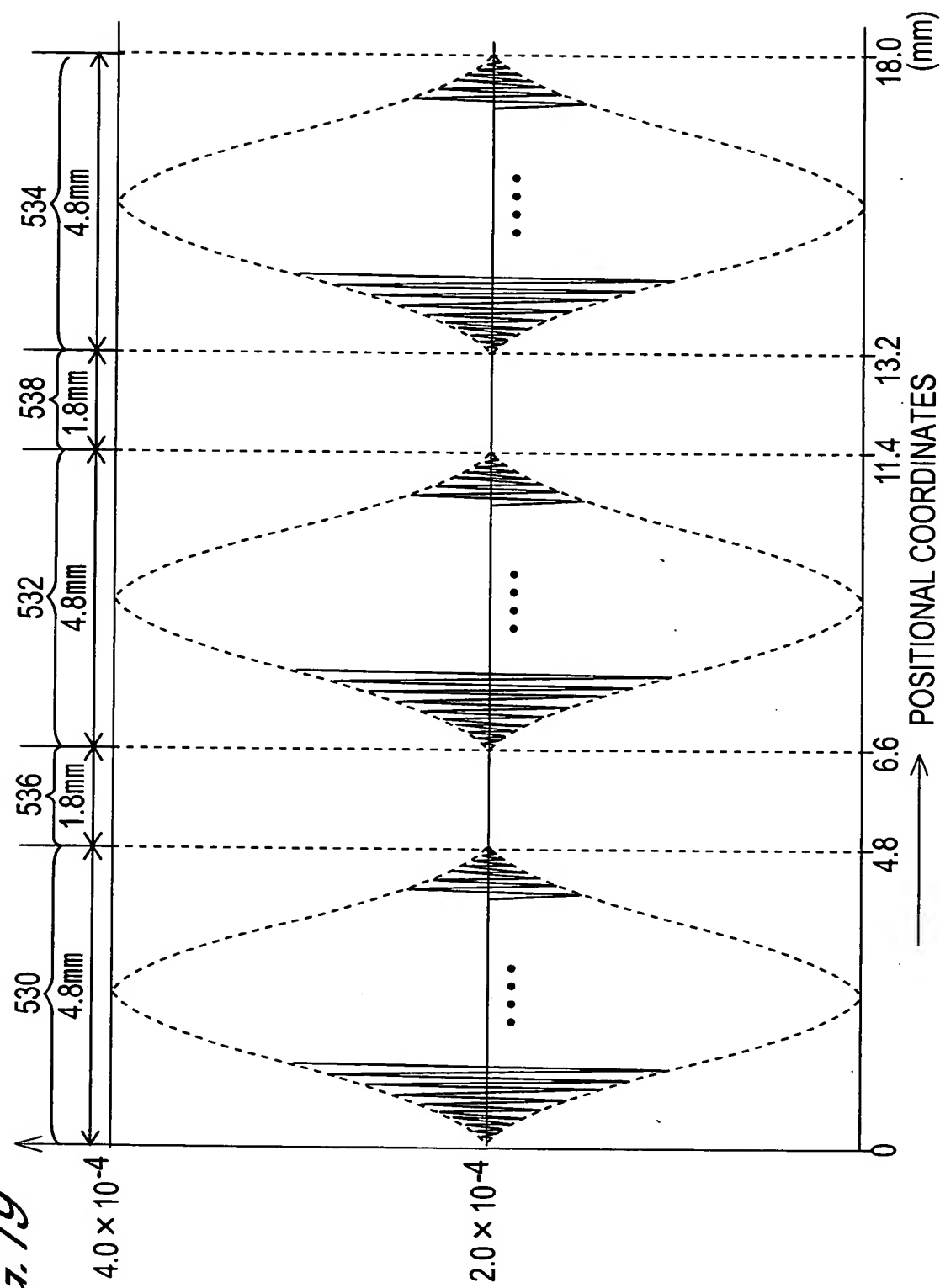


FIG.20

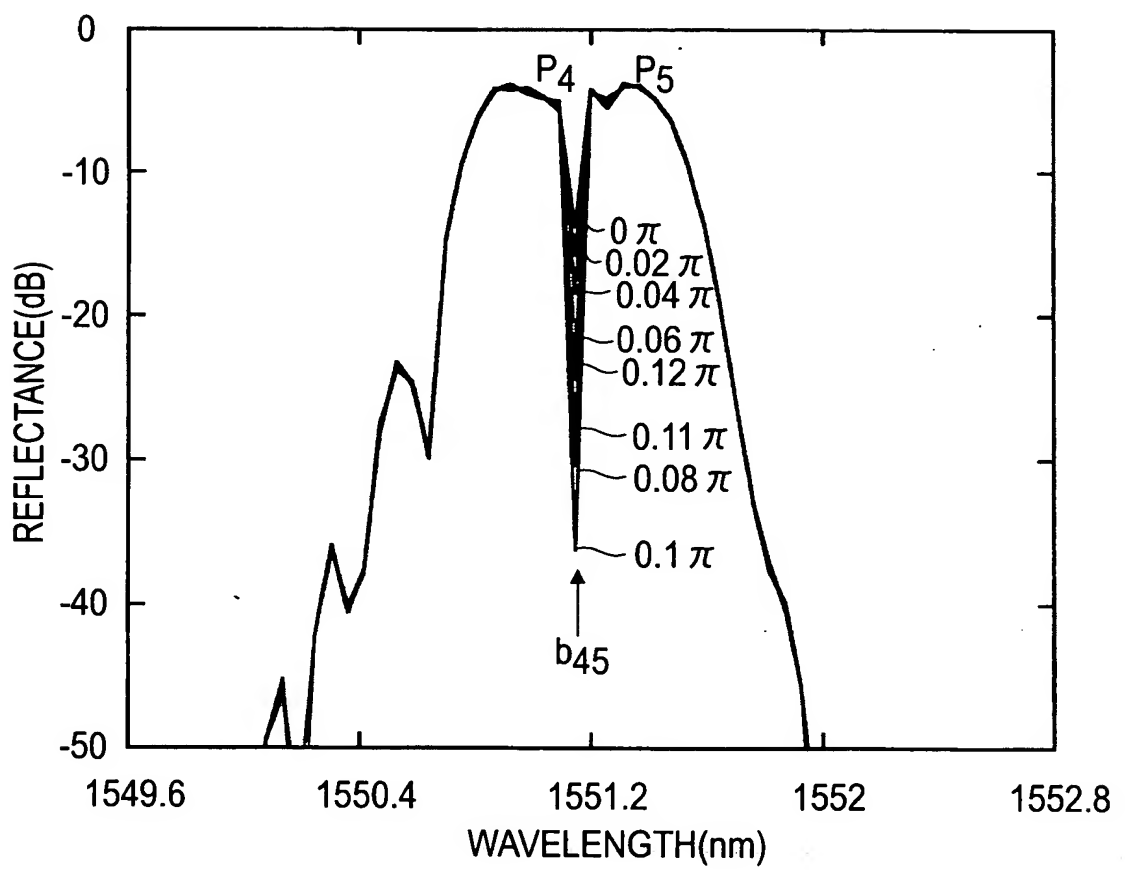


FIG.21

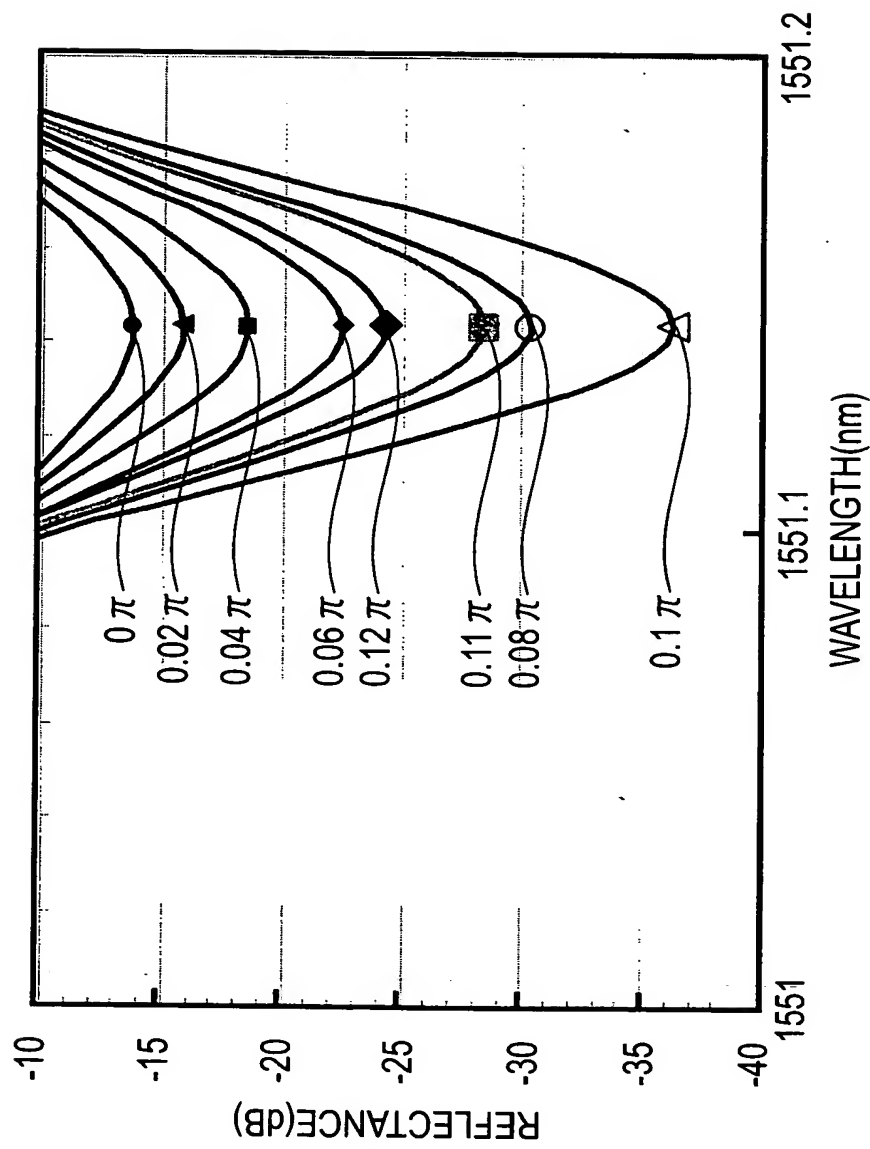


FIG.22

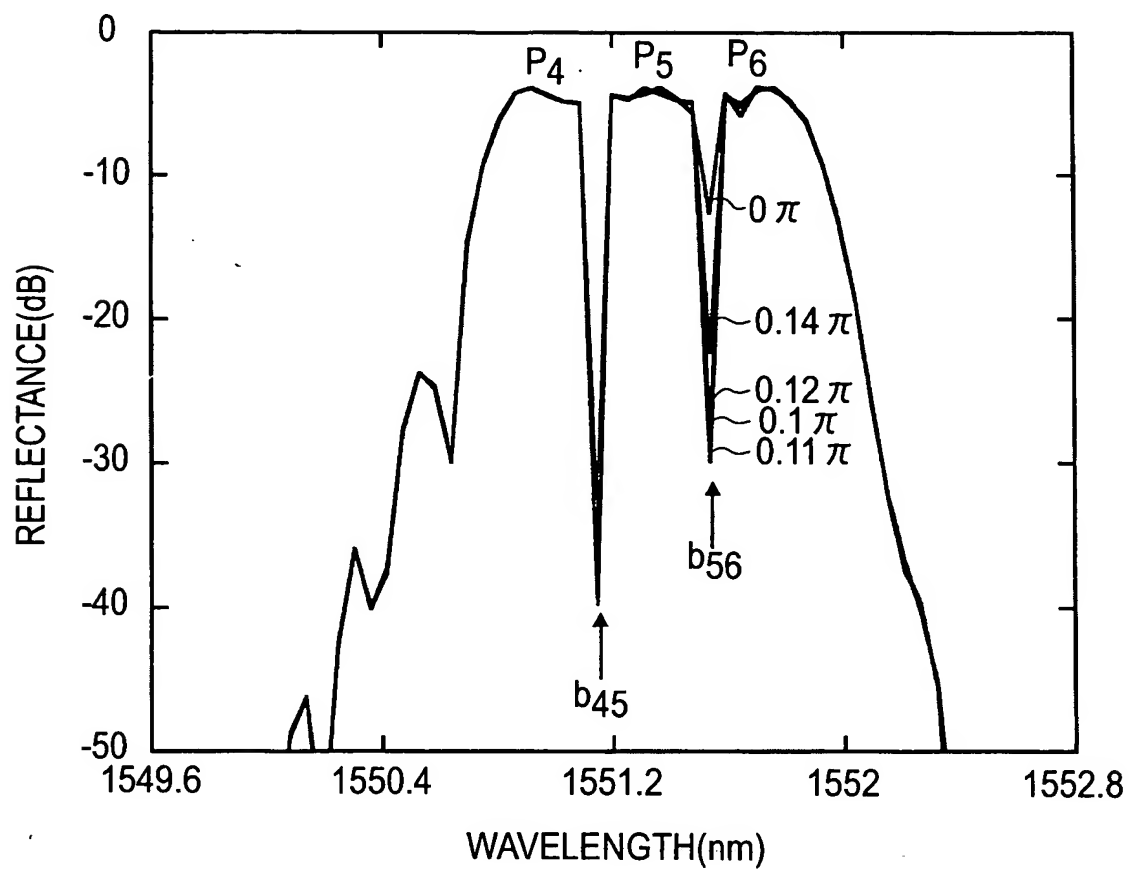


FIG.23

